УДК 537.632

## БЕЗДОПЛЕРОВСКИЕ СПЕКТРЫ ФАРАДЕЕВСКОГО ВРАЩЕНИЯ В ПАРАХ Rb В СХЕМЕ ВСТРЕЧНЫХ СВЕТОВЫХ ПУЧКОВ

Р.Х. ДРАМПЯН $^{1}$ , А.Д. ГРИНТРИ $^{2,3}$ , А.В. ДАРРАНТ $^{2}$ 

<sup>1</sup>Институт физических исследований НАН Армении <sup>2</sup>Открытый Университет, Милтон Кейнс, Великобритания <sup>3</sup>Университет Нового Южного Уэльса, Сидней, Австралия

(Поступила в редакцию 29 сентября 2004 г.)

Исследован нелинейный эффект Фарадея в парах рубидия в схеме встречных световых пучков. Фарадеевское вращение впервые наблюдалось для каждого сверхтонкого и кроссовер резонанса. Предложенная схема является магнито-оптическим аналогом спектроскопии насыщения поглощения со встречными световыми пучками.

#### 1. Введение

Новый интерес к резонансному эффекту Фарадея [1] (вращению плоскости поляризации света при прохождении через атомарную среду в продольном магнитном поле Н) возник в связи с обнаружением таких эффектов, как когерентное пленение населенности, электромагнитно-индуцированные прозрачность и поглощение (см. обзор [2]). Когда зеемановское расщепление меньше резонансной ширины линии  $\Gamma$ , угол вращения  $\Phi \sim H/\Gamma$  [3]. Используя нелинейную спектроскопию, можно разрешать весьма узкие (субдоплеровские) ширины спектральных линий [4], а углы вращения могут быть на несколько порядков больше для нелинейного фарадеевского вращения (НФВ) [3]. Основными физическими процесссами, ответственными за НФВ, являются оптически индуцированная когерентность между зеемановскими компонентами атомных уровней [2] и формирование "провалов Беннета" [5] - "пиков" и "дырок" в распределении населенности атомных уровней по скоростям атомов из-за оптической накачки. Когерентные эффекты в НФВ являлись предметом интенсивных исследований (см. [3,6-12] и приведенные в них ссылки). Имеется, однако, ограниченное количество исследований нелинейного эффекта Фарадея, определяемого структурой Беннета [13,14]. Эффект Зеемана в поляризационной спектроскопии, введенной в [15], был изучен в [16] для  $D_1$  линии Na в магнитном поле 50 Гс при интенсивности накачки, большей интенсивности насыщения: вращение плоскости поляризации прошедшего пучка было вызвано частично фарадеевским вращением, частично дихроизмом, обусловленным циркулярно поляризованной волной накачки.

Целью настоящей работы являлось исследование НФВ в схеме бездоплеровской спектроскопии со встречными световыми пучками, для значений магнитного поля, при которых зеемановское расщепление  $\Delta \omega_z = g \mu H/h - \Gamma$  (g — фактор Ланде,  $\mu$  — магнетон Бора, h — постоянная Планка) и  $\Phi \sim \Phi_{\rm max}$ . Эксперимент осуществлен в парах рубидия как для линейной ортогональной, так и  $\sigma^\pm$  циркулярных поляризаций пучка накачки. Случай  $\sigma^\pm$  циркулярной поляризации обратного пучка накачки соответствует поляризационной спектроскопии во внешнем магнитном поле. Однако в нашем эксперименте мощность пучка накачки была достаточно низкой и сигнал наведенного излучением накачки циркулярного двулучепреломления был существенно меньше, чем сигнал фарадеевского вращения. Это позволило впервые наблюдать и исследовать чистое фарадеевское вращение для каждого бездоплеровского сверхтонкого и кроссовер резонанса. Идея эксперимента, а также результаты эксперимента для бегущей волны и некоторые результаты для встречных пучков были сообщены в [17].

### 2. Экспериментальная установка

Экспериментальная установка показана на рис.1. Непрерывный диодный лазер с внешним резонатором с длиной волны  $\lambda \sim 780$  нм и шириной линии <1 МГц сканировался вблизи переходов  $S_{1/2}-P_{3/2},\,F_{\rm g}=2-F_{e}=1,2,3$   $^{87}{\rm Rb}.$  Доплеровская ширина этого перехода при комнатной температуре составляет 530 МГц, естественная ширина перехода  $\Gamma \approx 6$  МГц и зеемановское расшепление основного состояния 0.71 МГц/Гс.

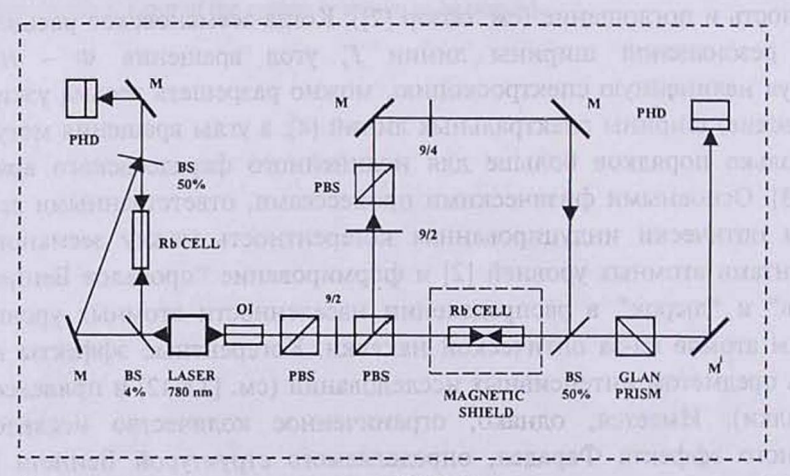


Рис.1. Экспериментальная установка. LASER 780 нм — диодный лазер, OI — оптический изолятор, BS — расщепитель пучка, PBS — поляризационный расщепитель пучка,  $\lambda$ /2 и  $\lambda$ /4 — полуволновая и четвертьволновая пластинки, Rb — кювета с рубидием, PHD — фотодиод, M — зеркало.

Отпаянная кювета с сапфировыми окнами (не имеющими двойного лучепреломления) длиной 6 см, содержащая пары рубидия, помещалась между скрешенными поляризаторами. Кювета помещалась в центре трех пар взаимно-ортогональных катушек Гельмгольца, которые использовались как для подавления лабораторных магнитных полей с точностью < 0.1 Гс, так и для приложения продольного магнитного поля 0 – 10 Гс. Относительные мощности прямого и обратного пучков (в области 20 – 150 мкВт) и поляризация обратной волны изменялись в ходе эксперимента. Диаметр пучка составлял 1 мм. Часть пучка использовалась для наблюдения спектров насыщения поглощения в стеклянной кювете с Rb длиной 8 см. Прямой пучок, прошедший через скрещенные поляризаторы (сигнал фарадеевского вращения), и спектры сравнения насыщения поглощения детектировались с помощью фотодиодов и осциллографа. Измерения проводились при комнатной температуре 23 – 24°С, при которой плотность атомов рубидия ~10<sup>10</sup> см-3.

### 3. Спектры НФВ со встречными световыми пучками

1) Линейная поляризация обратного пучка накачки. Спектры НФВ для линейной поляризации излучения накачки, ортогональной линейной поляризации пробного пучка, при H=6 Гс и мощностях пробного и накачивающего пучков 148 и 30 мкВт, соответственно показаны на рис.2. Свободный

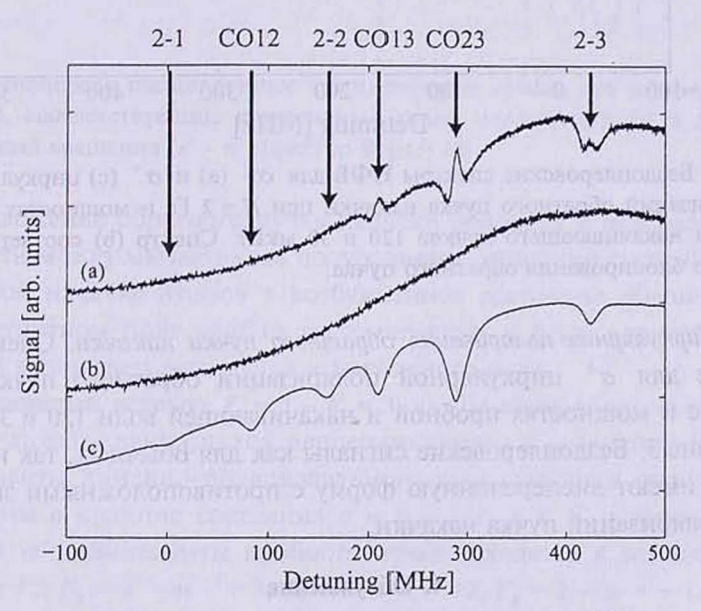


Рис.2. Свободный от доплеровского уширения спектр НФВ (а) для линейной-ортогональной поляризации обратного пучка при H=2 Гс и мощностях пробного и накачивающего пучков 148 и 30 мкВт. Спектр (b) соответствует случаю, когда обратный пучок блокирован. (c) — реперный спектр насыщения поглощения. Нулевая частота соответствует переходу  $F_g=2-F_e=1$ .

от доплеровского уширения сигнал НФВ появляется на доплеровски уширенном фоновом сигнале. Для перехода  $F_g$  =2 —  $F_e$ =3 наблюдался сигнал формы W с провалом в центре линии. Для кроссовер резонансов  $F_g$ =2 —  $F_e$ =2,3 (CO23) и  $F_g$ =2— $F_e$ =1,3 (CO13) сигналы имеют дисперсионную форму. Когда обратная волна блокировалась, бездоплеровский сигнал вращения отсутствовал на доплеровски уширенном фоновом сигнале.

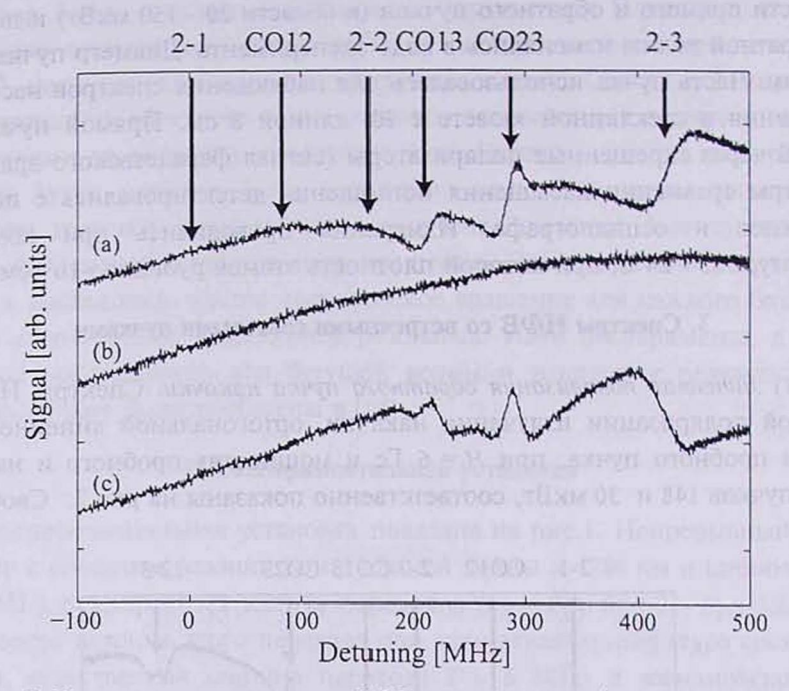


Рис.3. Бездоплеровские спектры НФВ для  $\sigma^-$  (а) и  $\sigma^+$  (с) циркулярных поляризаций обратного пучка накачки при H=2 Гс и мощностях пробного и накачивающего пучков 120 и 30 мкВт. Спектр (b) соответствует случаю блокирования обратного пучка.

2) Циркулярная поляризация обратного пучка накачки. Спектры НФВ, полученные для  $\sigma^{\pm}$  циркулярной поляризации обратного пучка накачки, при H=2 Гс и мощностях пробной и накачивающей волн 120 и 30 мкВт по-казаны на рис.3. Бездоплеровские сигналы как для обычных, так и кроссовер резонансов имеют дисперсионную форму с противоположными знаками для  $\sigma^{+}$  и  $\sigma^{-}$  поляризаций пучка накачки.

## 4. Обсуждение

Сигнал фарадеевского вращения S определяется как  $S \sim (n^- - n^+) l$ , где  $n^-$  и  $n^+$  – показатели преломления для левой и правой циркулярно поляризованных волн, l – длина среды. Рис.4 показывает зеемановски расщепленные уровни энергии для  $F_g = 0 - F_e = 1$  перехода (а), соответствующие компоненты линии поглощения (b) и дисперсии (c), и кривую, описывающую фарадеев-

ское вращение  $(n^--n^+)$  (фактор Верде). Показанный фактор Верде соответствует случаю, когда вероятности переходов для  $\sigma^+$  и  $\sigma^-$  компонент света равны. Однако, если эти вероятности существенно отличаются, то  $(n^--n^+)$  будет равен  $n^-$  или  $n^+$  (в зависимости от того, вкладом какого из переходов можно пренебречь) и частотный профиль фактора Верде будет иметь простую дисперсионную форму.

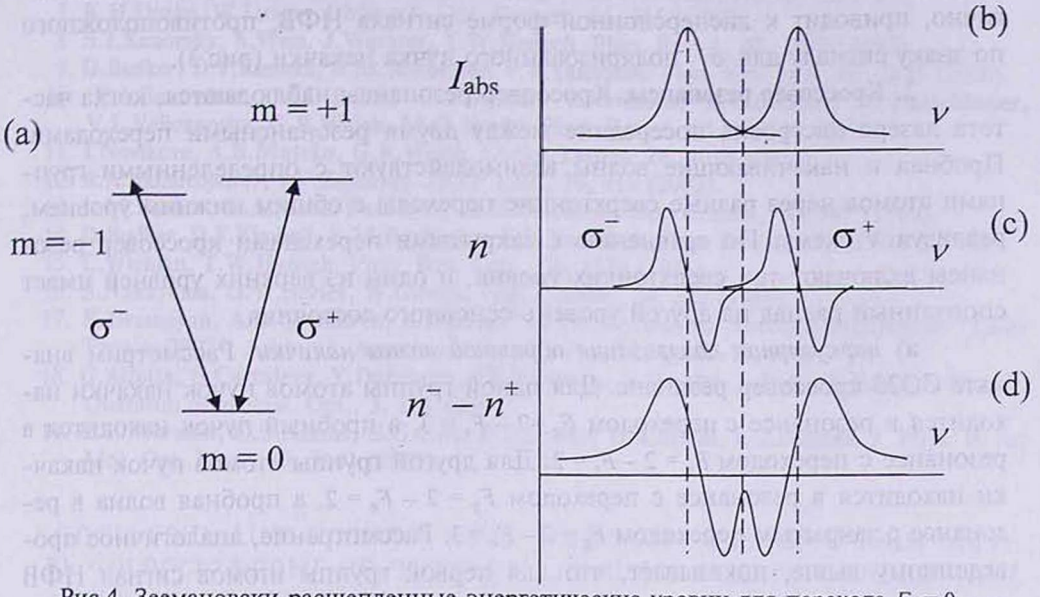


Рис.4. Зеемановски расщепленные энергетические уровни для перехода  $F_g = 0 - F_e = 1$  (a), соответствующие компоненты линии поглощения (b) и дисперсии (c), и кривая вращения  $(n^- - n^+)$  (фактор Верде) (d).

Приложение обратного пучка накачки приводит к перераспределению населенности между магнитными подуровнями основного состояния, а также к оптической накачке атомов в возбужденное состояние. Физические процессы в магнитном поле удобно расссматривать с осью квантования z, направленной вдоль светового пучка и магнитного поля.

1. Закрытый переход  $F_g=2-F_e=3$ . а) Линейная поляризация пучка накачки. Для атомов, движущихся перпендикулярно к лазерному пучку,  $\sigma^+$  и  $\sigma^-$  компоненты линейно-поляризованного пучка накачки оптически накачивают атомы в крайние состояния с  $m=\pm 2$ ,  $F_g=2$ . С подуровней  $m=\pm 2$ ,  $F_g=2$   $\sigma^+$  и  $\sigma^-$  компоненты пробного пучка находятся в резонансе с переходами  $m=\pm 2$ ,  $F_g=2-m=\pm 3$ ,  $F_e=3$  и  $m=\pm 2$ ,  $F_g=2-m=\pm 1$ ,  $F_e=3$ , и с переходами  $m=\pm 2$ ,  $F_g=2-m=\pm 3$ ,  $F_e=3$  и  $m=\pm 2$ ,  $F_g=2-m=\pm 1$ ,  $F_e=3$  с относительными вероятностями 15 и 1, соответственно. Переходами с наименьшей вероятностью 1 можно пренебречь. Таким образом, сигнал НФВ определяется компонентами  $m^-$  и  $m^+$  показателя преломления для сильных переходов  $m=\pm 2$ ,  $F_g=2-m=\pm 3$ ,  $F_e=3$  и должен иметь W-частотный профиль, аналогичный показанному на рис.4 для постоянной Верде.

- б) Диркулярная поляризация пучка накачки.  $\sigma^+$  поляризованный пучок накачки оптически накачивает атомы в крайнее состояние m=+2,  $F_g=2$ .  $\sigma^+$  и  $\sigma^-$  компоненты пробного пучка связывают переход m=+2,  $F_g=3$  с вероятностью 15, и переход m=+2,  $F_g=2-m=+1$ ,  $F_g=3$  с вероятностью 1, соответственно. Таким образом  $n_m^-$  намного меньше по сравнению с  $n_m^+$  и сигнал должен иметь дисперсионную форму, определяемую  $-n_m^+$ . Случай  $\sigma^-$  поляризованного пучка накачки, рассмотренный аналогично, приводит к дисперсионной форме сигнала НФВ, противоположного по знаку сигналу для  $\sigma^+$  поляризованного пучка накачки (рис.3).
- 2. Кроссовер резонансы. Кроссовер резонансы наблюдаются, когда частота лазера настроена посередине между двумя резонансными переходами. Пробная и накачивающие волны взаимодействуют с определенными группами атомов через разные сверхтонкие переходы с общим нижним уровнем, реализуя V схему. По сравнению с закрытыми переходами кроссовер резонансы включают три сверхтонких уровня, и один из верхних уровней имеет спонтанный распад на другой уровень основного состояния.
- а) циркулярная поляризация обратной волны накачки. Рассмотрим вначале СО23 кроссовер резонанс. Для одной группы атомов пучок накачки находится в резонансе с переходом  $F_g = 2 - F_e = 3$ , а пробный пучок находится в резонансе с переходом  $F_g = 2 - F_e = 2$ . Для другой группы атомов пучок накачки находится в резонансе с переходом  $F_g = 2 - F_e = 2$ , а пробная волна в резонансе с закрытым переходом  $F_g = 2 - F_e = 3$ . Рассмотрение, аналогичное проведенному выше, показывает, что для первой группы атомов сигнал НФВ пропорционален  $(n_m^-)^{\text{open}}$ , а для другой группы атомов пропорционален  $(-n_m^+)^{\text{closed}}$ . Полный сигнал есть сумма сигналов  $\{(-n_m^+)^{\text{closed}} + (n_m^-)^{\text{open}}\}$ , соответствующих различным группам атомов. Однако нужно учесть, что открытый переход  $F_g$  =2 -  $F_e$  = 2, связанный волной накачки, распадается на  $F_{g'}$  =1 со скоростью  $\beta = \Gamma_{F_e=2-F_g=1} / \Gamma_{F_e=2-F_g=2} = 1$  (50% потери населенности) [18]. Та-ким образом,  $(n_m^-)^{\text{open}} << (-n_m^+)^{\text{closed}}$ , и сигнал НФВ определяется в основном вкладом  $(-n_m^+)^{\text{closed}}$  и должен иметь дисперсионную форму. Случай  $\sigma^-$  поляризованного пучка накачки может быть рассмотрен аналогично. Сигнал НФВ опять должен иметь дисперсионную форму, однако со знаком, противоположным сигналу для случая  $\sigma^+$  поляризованного пучка накачки (см. рис.3). Кроссовер резонанс СО13 проявляет похожие свойства,
- б) линейная поляризация обратного пучка накачки. В противоположность случаю закрытого перехода, когда сигнал НФВ имеет форму W, форма сигнала для кроссовер резонансов имеет простую дисперсионную форму (рис.2). Это связано с доминирующей ролью когерентных процессов и их объяснение будет представлено в отдельной публикации. Полученные результаты могут быть применены для стабилизации частоты диодных лазеров [19].

Авторы выражают благодарность Д.Г.Саркисяну за предоставление сапфировой кюветы, использованной в эксперименте.

#### ЛИТЕРАТУРА

1. D.Macaluso, O.M.Corbino. Nuovo Chimento, 8, 257 (1898).

2. J. P. Marangos. J. Modern Optics, 45, 471 (1998).

3. D.Budker, D.J.Orlando, V.Yashchuk. Am. J. Phys., 67, 584 (1999).

 V.S.Letokhov, V.P.Chebotaev. Nonlinear Laser Spectroscopy. Springer Series in Optical Sciences, Springer Verlag, Berlin, 1977.

W.R.Bennett. Phys. Rev., 126, 580 (1962).

6. W. Gawlik, J. Kowalski, R. Neumann, F. Trager. Opt. Comm., 12, 400 (1974).

K.H.Drake, W.Lange, J.Mlynek. Opt. Comm., 66, 315 (1988).

8. S.I.Kanorsky, A.Weis, J.Wurster, T.W.Hansch. Phys. Rev. A, 47, 1220 (1993).

D.Budker, D.F.Kimball, S.M.Rochester, V.V.Yashchuk. Phys. Rev. Lett., 85, 2088 (2000).
V.A.Sautenkov, M.D.Lukin, C.J.Bednar, I.Novikova, E.Mikhailov, M.Fleischhauer, V.L.Velichansky, G.R.Welch, M.O.Scully. Phys. Rev. A, 62, 023810 (2000).

11. I.Novikova, A.B.Matsko, G.R.Welch. Optics Letters, 26, 1016 (2001).

12. R.A.Akhmedjanov, I.V.Zelensky. JETP Lett., 76, 419 (2002).

- 13. L.M.Barkov, D.A.Melik-Pashayev, M.S.Zolotorev. Opt. Comm., 70, 467 (1989).
- 14. D.Budker, D.F.Kimball, S.M.Rochester, V.V.Yashchuk. Phys. Rev. A, 65, 033401 (2002).

15. C.Wieman, T.W.Hansch. Phys. Rev. Lett., 36, 1170 (1976).

16. S.Nakayama, G.W.Series, W.Gawlik. Opt. Comm., 34, 382 (1980).

- R.Drampyan, A.D.Greentree, A.Durrant, in Proceedings of National Conference "Laser Physics 2002", Ashtarak, Armenia, "Gitutyun" publ., pp.16-19, 2003.
- G.Alzetta, S.Cartaleva, Y.Dancheva, Ch.Andreeva, S.Gozzini, L.Botti, A.Rossi. J. Opt. B: Quantum Semiclass. Opt., 3, 181 (2001).
- C.P.Pearman, C.S.Adams, S.G.Cox, P.F.Griffin, D.A.Smith, I.G.Hughes. J. Phys. B: At. Mol. Opt. Phys., 35, 5141 (2002).

ԴՈՊԼԵՐՅԱՆ ԼԱՅՆԱՑՈՒՄԻՑ ԱՋԱՏ ՖԱՐԱԴԵՅԻ ՊՏՈՒՅՏԻ ՍՊԵԿՏՐՆԵՐԸ Rb ԳՈԼՈՐՇԻՆԵՐՈՒՄ ՀԱՆԴԻՊԱԿԱԾ ԼՈՒՍԱՅԻՆ ՓՆՋԵՐԻ ՀԱՄԱԿԱՐԳՈՒՄ

## Ո.Խ. ԴՐԱՄՓՅԱՆ, Ա.Դ. ԳՐԻՆՏՐԻ, Ա.Վ. ԴԱՐՐԱՆՏ

Հետազոտված է ոչ գծային Ֆարադեի պտույտը Rb ատոմների գոլորշիներում հանդիպակած լուսային փնջերի համակարգում։ Առաջին անգամ ոչ գծային Ֆարադեյի պտույտը դիտարկված է յուրաքանչյուր գերնուրբ և կրոսովեր ռեզոնանսի համար։ Առաջարկված սխեման հանդիսանում է հանդիպակած լուսային փնջերի միջոցով կլանման հագեցման սպեկտրոսկոպիայի մագնիսաօպտիկական անալոգը։

# DOPPLER-FREE SPECTRA OF THE NONLINEAR FARADAY ROTATION IN Rb VAPOR IN THE SCHEME OF COUNTER-PROPAGATING LIGHT BEAMS

#### R.KH. DRAMPYAN, A.D. GREENTREE, A.V. DURRANT

The nonlinear Faraday rotation in the scheme with counter-propagating light beams is investigated for Rb atoms. The nonlinear Faraday rotation is observed for the first time for each hyperfine and crossover resonances. The proposed scheme is a magneto-optical analog of saturation absorption spectroscopy with counter-propagating light beams.